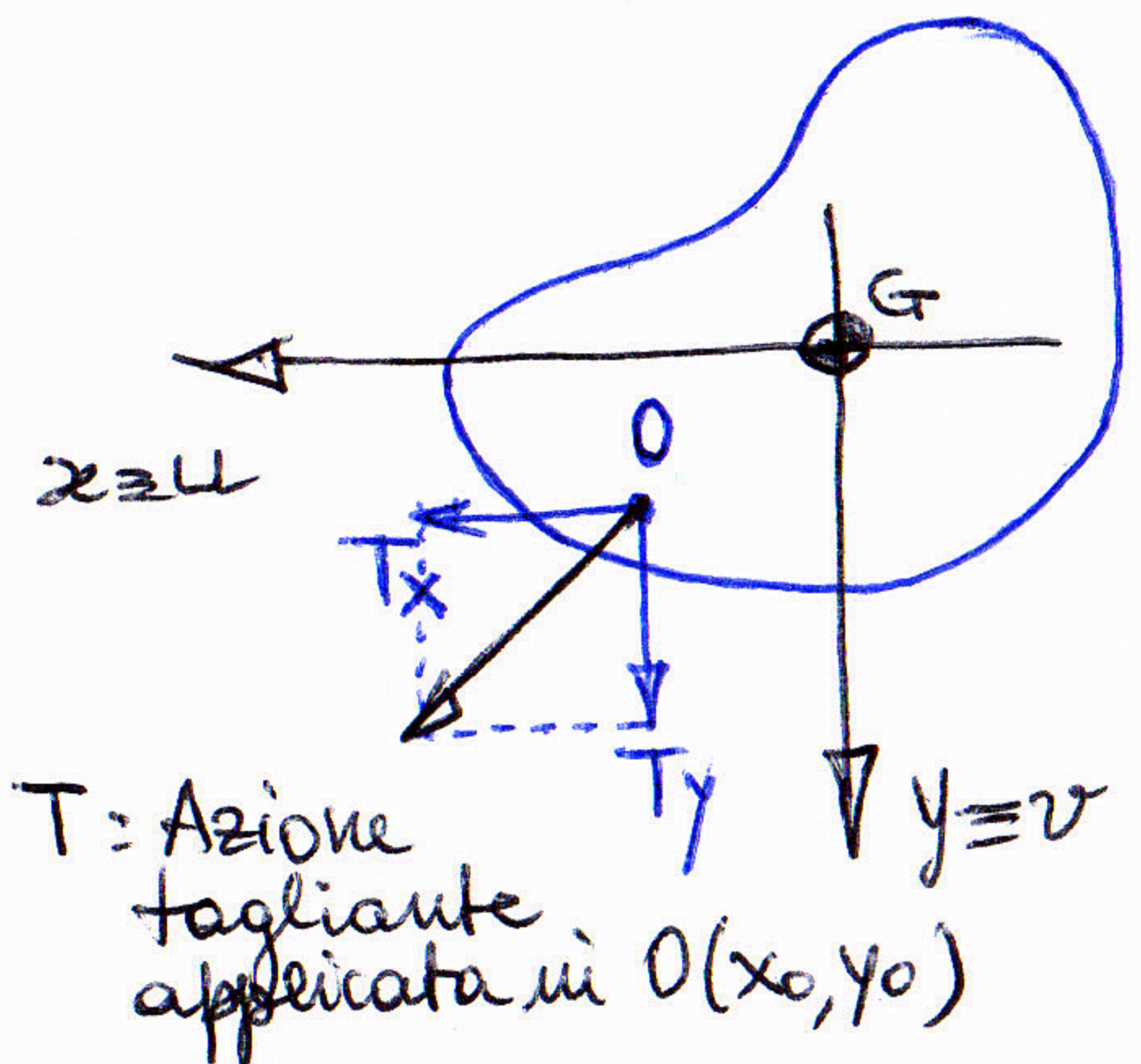
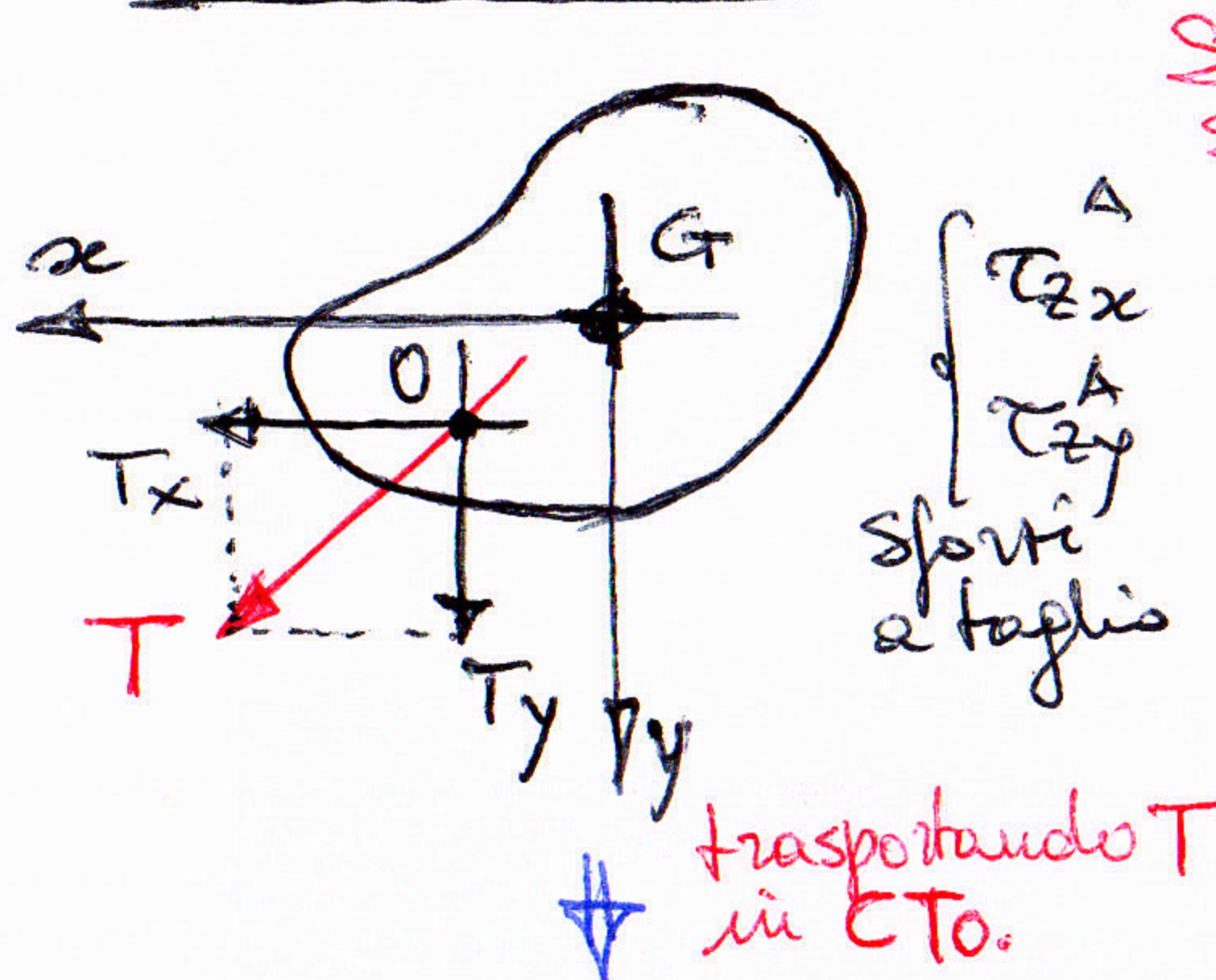
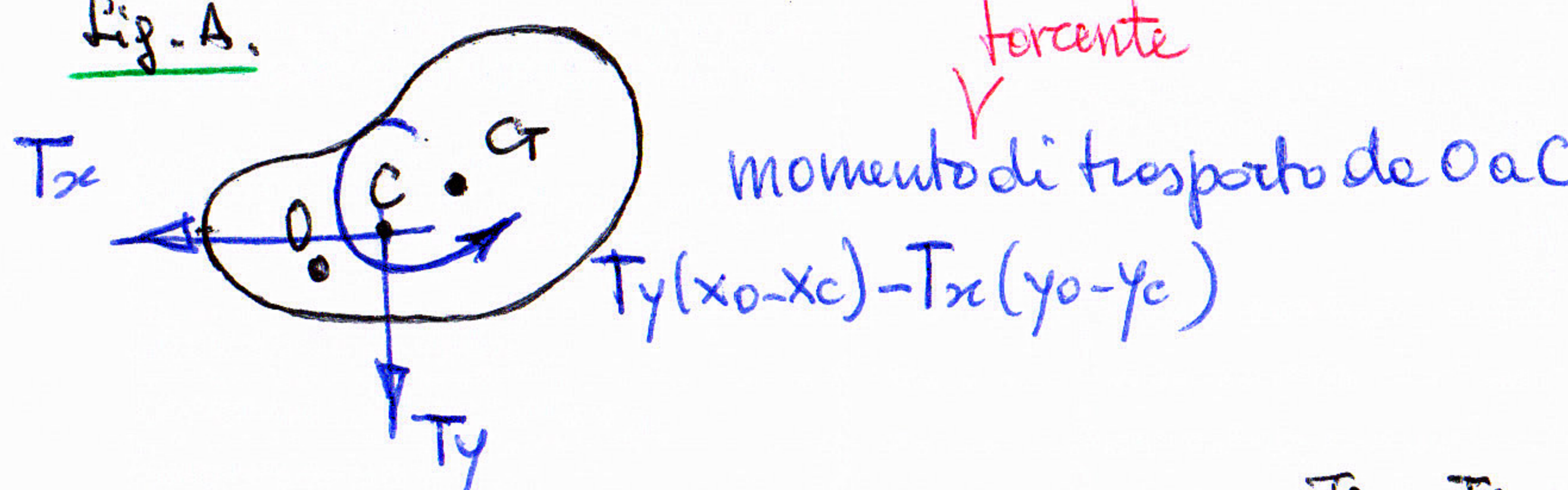


Taglio e centro di taglio

- Centro di taglio: p. to di applicazione di T tale per cui la sezione si deforma con inflessione del prisma (se c'è taglio e' momento) senza ruotare nel piano.

Sistema A Static. amm.Fig. A.

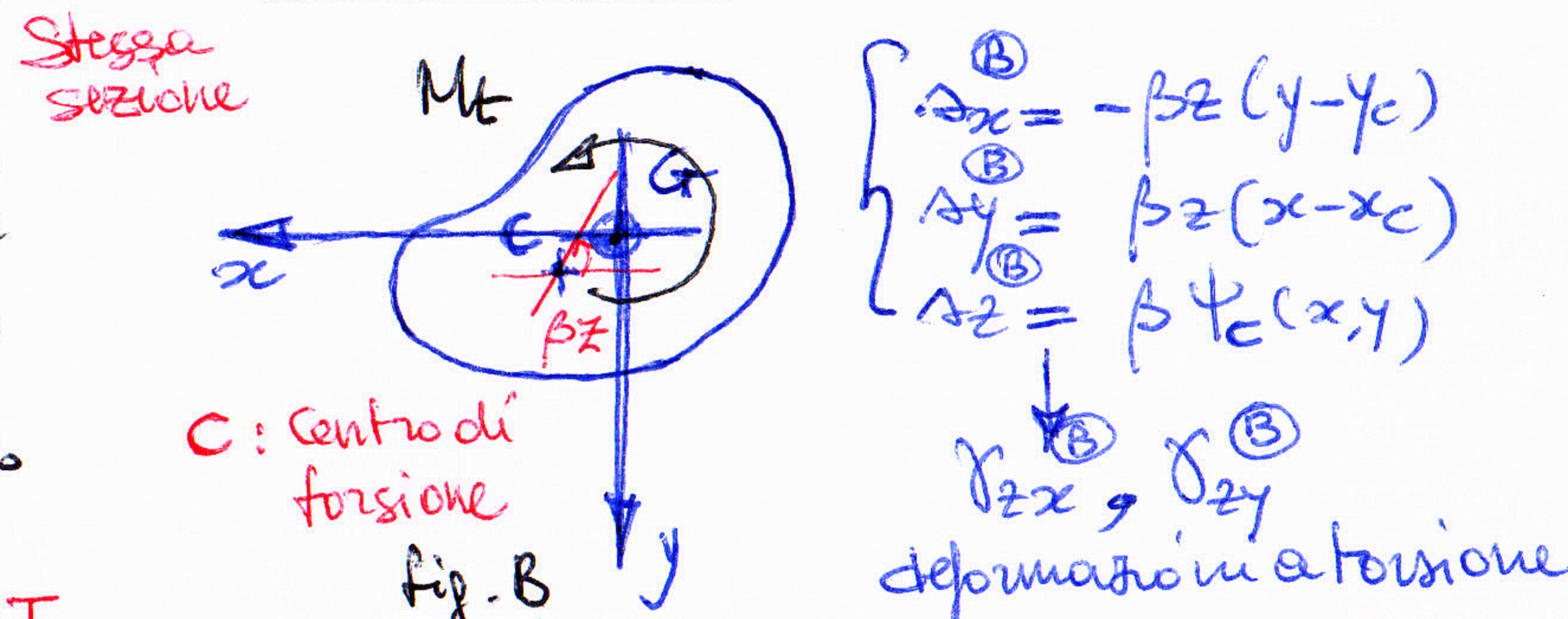
- Analogamente, invertendo i sistemi A e B:

$$M_t \cdot \beta = \int_A T_z \cdot \gamma_z dA = \int_A T_z \cdot \frac{T_a}{G} dA = \int_A \frac{T_a}{G} \cdot T_z dA = \int_A \gamma_z \cdot T_z dA = \int_A \gamma_z dA = 0 \text{ come sopra se } O \equiv C$$

- L'accoppiamento taglio/torsione passa attraverso le determinazione del CT:

- se CT_o è noto delle soluzioni del ps. della torsione, è noto anche CT_a .
- se CT_a è noto delle soluzioni del ps. del taglio, è noto anche CT_o .

- Se $O \equiv CT_a$ la sollecitazione è di puro taglio (e flessione), sente effetti torcenti (no rotazione).
- Infatti è evidente che trasportando le forze T nel piano delle sezione si origina un momento torcente di trasporto che induce una risposta torsionale.
- Rotazione nullo: in senso energetico (via PLV). Sforzi a taglio e deformazioni torcenti risultano energeticamente ortogonali, cioè tali da produrre lavoro interno nullo (e quindi lavoro esterno nullo).

Sistema B cinem. amm.

PLV: $\int_A \gamma_{zx} dA = \int_A \gamma_{zy} dA = 0 \leftarrow O \equiv CT_a$

$$\frac{d\gamma_{zx}}{dx} = \frac{d\gamma_{zy}}{dy} = 0 \text{ per concordanza di prisma}$$

Def Fig. A e Fig. B:

$$\frac{d\gamma_{zx}}{dx} = T_{zx} u_c^B + T_{zy} v_c^B + [T_y(x_0 - x_c) - T_x(y_0 - y_c)] \beta$$

essendo $u_c^B = v_c^B = 0$

$$= \int_A (T_{zx} \gamma_{zy}^B + T_{zy} \gamma_{zx}^B) dA = \frac{d\gamma_{zx}}{dx} = 0 \text{ se } O \equiv CT$$

C'è infine:

$$[T_y(x_0 - x_c) - T_x(y_0 - y_c)] \beta = 0 \quad \forall T_x, T_y, \beta$$

Quindi il centro di taglio, così definito, coincide col centro di torsione:

$$\begin{cases} x_0 = x_c \\ y_0 = y_c \end{cases}$$

$$C \equiv CT_o \equiv CT_a$$

allora $\beta = 0$ (rotaz. nulla delle set. soggette a taglio)

Egidio. rizzi@unibg.it

- Nota le soluz. del ps. del taglio (proietto in generale non di agevole determinazione in forme chiuse o analitiche), il CTa può essere determinato mediante le condizioni di equivalenza statica:

$$\int_A (\tau_{zy}^{Ta} x - \tau_{zx}^{Ta} y) dA = T_y x_c - T_x y_c \Rightarrow (x_c, y_c) - \begin{array}{l} \text{Es. } T_x=1, T_y=0 \rightarrow y_c \\ T_x=0, T_y=1 \rightarrow x_c \end{array}$$

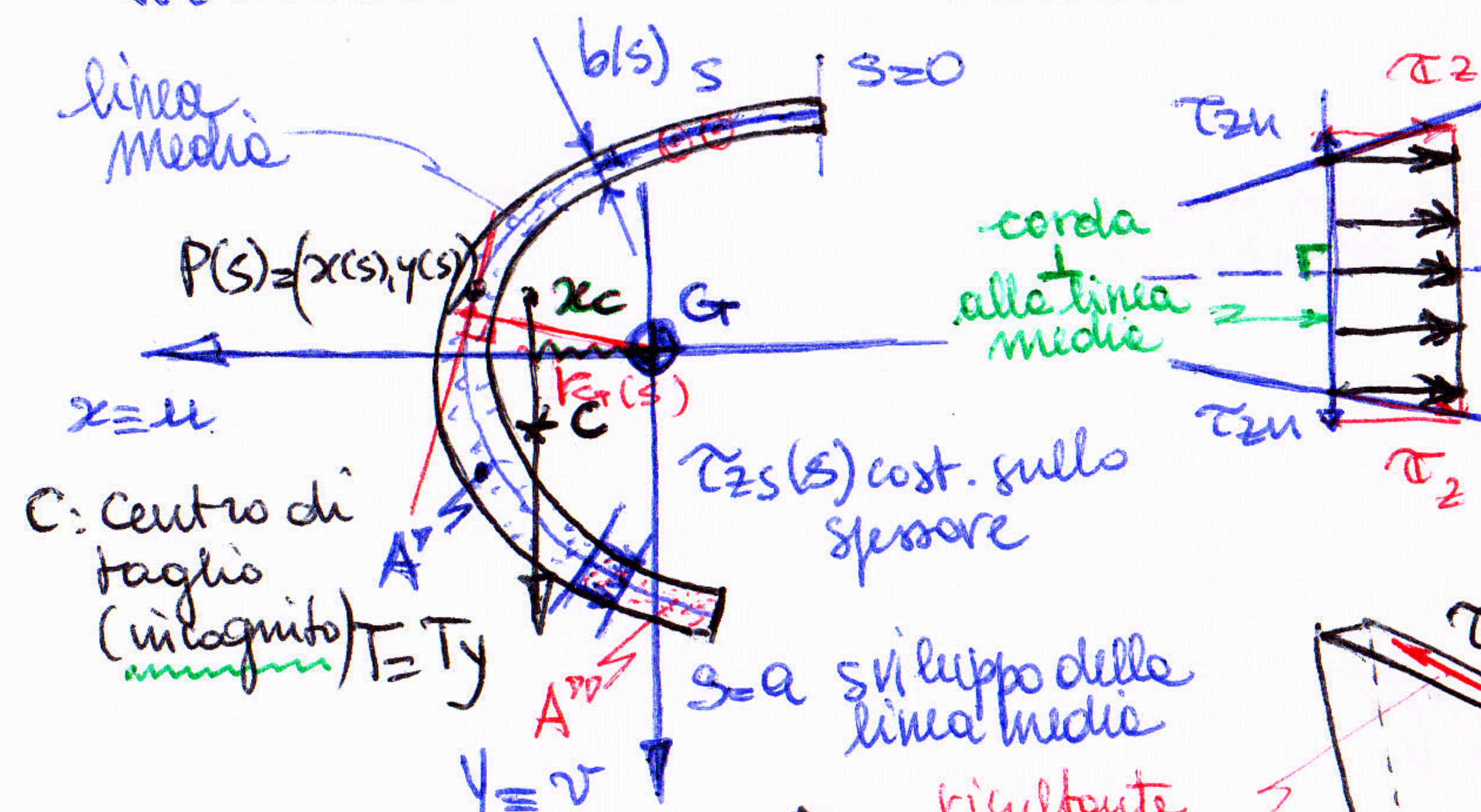
lrizzi@unibo.it

- Soluzioni approssimate dei pb. delle torsione e del taglio che prevedano τ_2 e γ_2 energeticamente ortogonali ($\dot{\alpha}_i = 0$) risultano utili alla determinazione del CT, come CTo o come CTa (il CT trovato risulterà approssimato, ma vicino a quello reale, se le soluzioni approssimate risultano vicine a quelle reali).

- Se 3 assi di simmetria, il CT è a tale asse -

- Qua loro le risultante T non risulti applicata in C, cioè sia applicata in Ofc, essa può essere trasportata in C, generando un momento torcente di trasporto, in genere detto momento torcente parassita (att. a tenerlo in debito conto, specie nel caso di scarse resistenze torsionali, come per i profili sottili aperti):

TORSIONE NEI PROFILI SOTTILLI APERTI (soluz. appross secondo D.J. Tjourawsky) ~1856



Ragionamento che può essere sempre fatto per essere il verso reale delle $\tau_{zs}(s)$ essere sempre fatto per essere il verso reale delle $\tau_{zs}(s)$ (spazio simm. $\tau_{ji} = \sigma_{ij}$)

N.B. Le $\tau_{zs}(s)$ determinate con le formule di Tjourawsky non dip. dal punto di applicazione di $T=T_y$. Essa si ritiene applicata in C. Tale punto può essere determinato per equivalenza statica: (rispetto a G o altro punto comodo)

$$\int_0^a \tau_{zs}(s) b(s) ds \cdot r_{al}(s) = T_y \cdot x_c \Rightarrow \int_0^a \frac{T_y S_x''(s)}{J_x} r_{al}(s) ds = T_y x_c$$

Idem per $T_x \Rightarrow y_c = -\frac{1}{J_y} \int_0^a S_y''(s) r_{al}(s) ds$

$O \neq C \Rightarrow$
 T presi per l'equil. el centro ma trascurabile finché guenishai $\Rightarrow \tau_{zn} \approx 0$

$$\tau_{zs} = \frac{T_y S_x''(s)}{J_x b(s)}$$

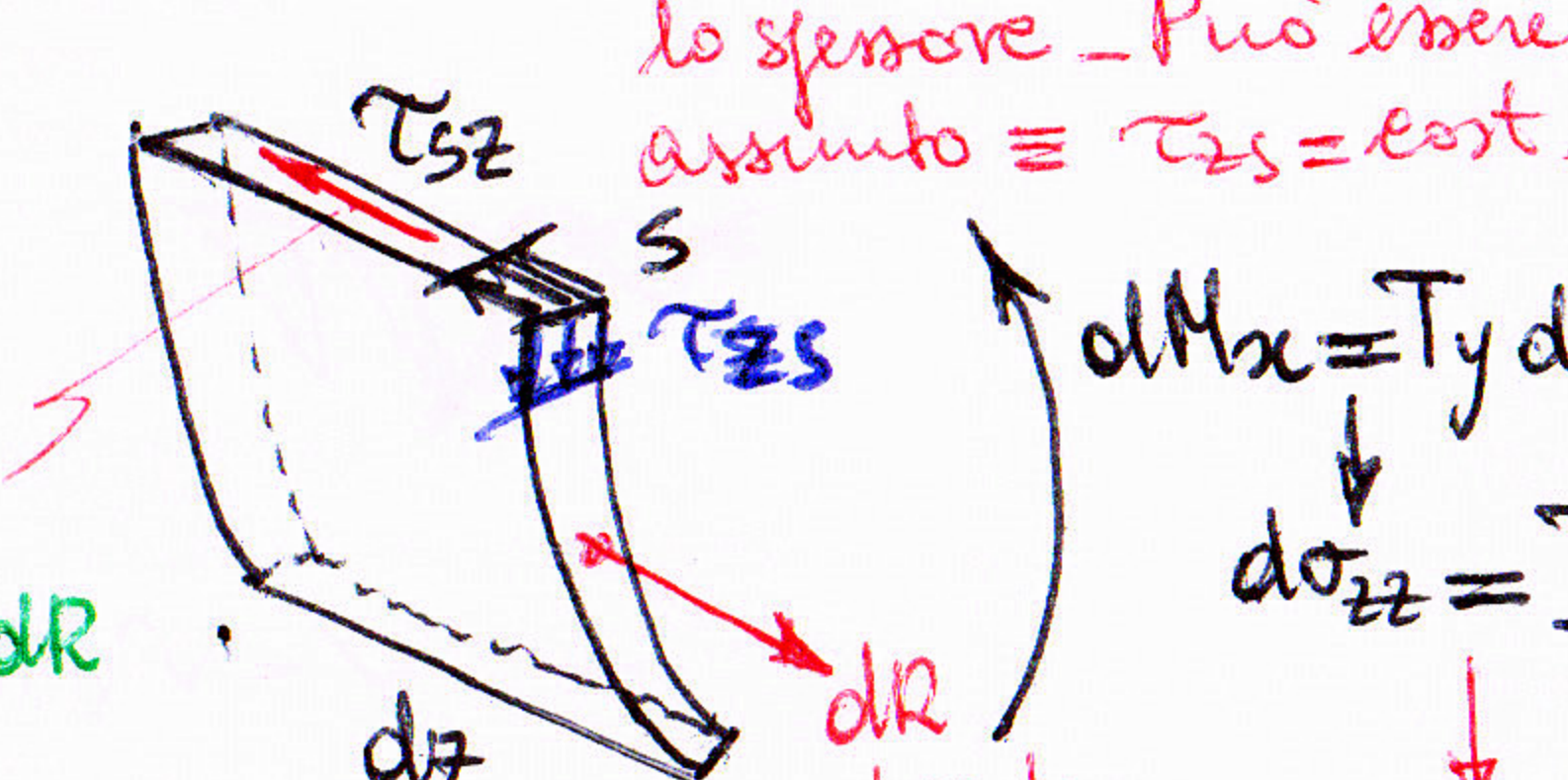
Valore medio delle τ_{zs} lungo lo spessore - Può essere assunto $\equiv \tau_{zs} = \text{cost. in } b(s)$

$$S_x''(s) = \int_s^a y(s) b(s) ds$$

$$S_x''(s) = \int_s^a y(s) b(s) ds$$

- T_y : Taglio applicato secondo asse pu.
- J_x : mom. d'inerzia rispetto all'asse princip.
- $S_x''(s)$: mom. statico delle porzioni $A'' \circ A'''$ rig. ad x.
- $b(s)$: spessore corrente dell'ascissa (larghezza delle code)

$y(s)$ riferita alle linee mediane



$$dM_x = T_y dz$$

$$d\sigma_{zz} = \frac{T_y dz}{J_x} y \quad (\text{formule di Navier per la flessione})$$

$$dR = \int_A d\sigma_{zz} dA = \frac{T_y dz}{J_x} S_x''$$

• Equilibrio alle tensioni in direz. z:

$$\tau_{zs} b(s) dz = \frac{T_y S_x''}{J_x} dz \Rightarrow \text{formula di J.}$$

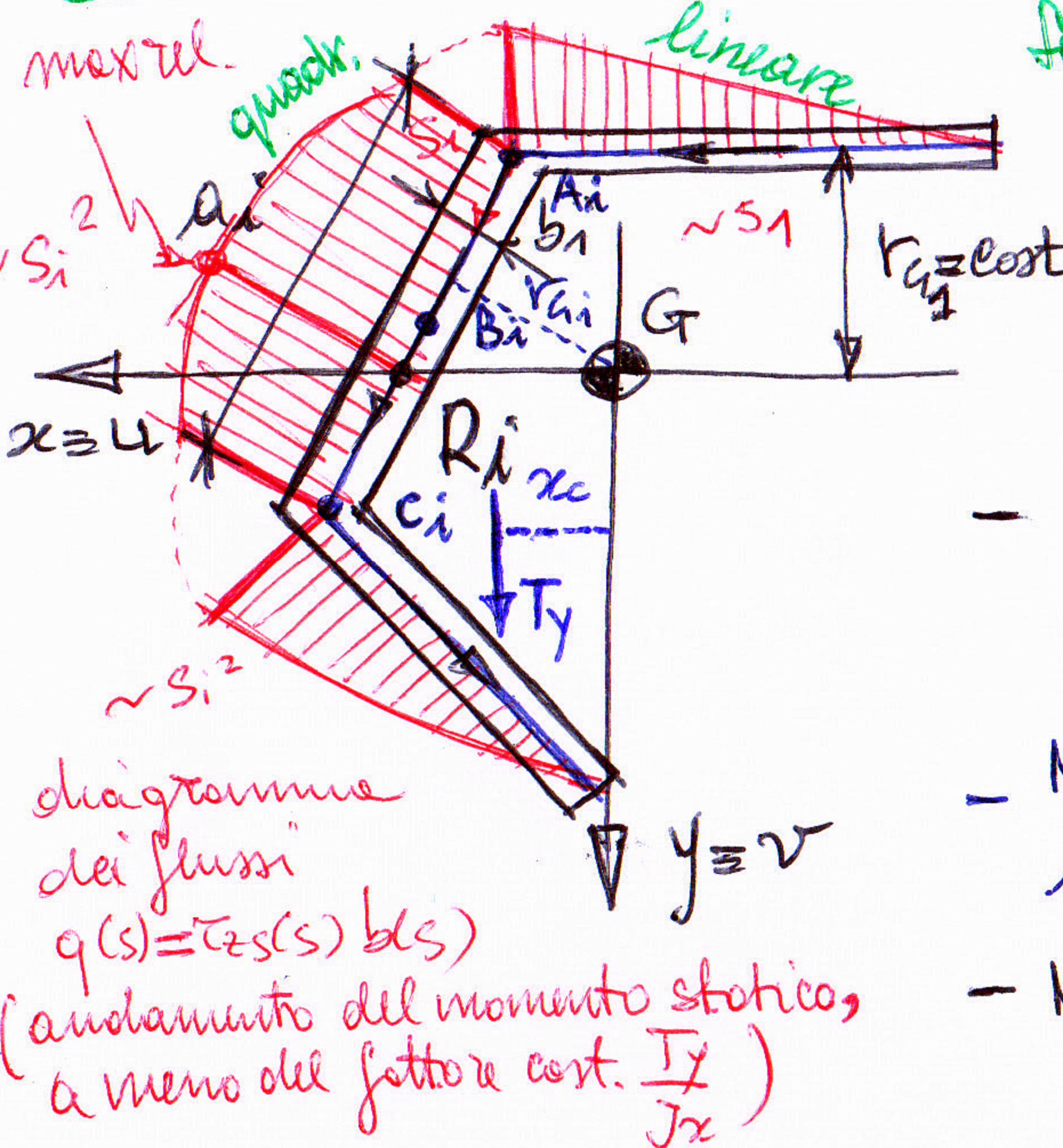
È buone appross del CT in quanto τ_{zs} e $\delta_{zs} = \frac{\tau_{zs}}{G}$ sono lung. ortogonali

$$x_c = \frac{1}{J_x} \int_0^a S_x''(s) r_{al}(s) ds$$

coordinate del CT

$$dI_i = \int_0^a T_{zs} \tau_{zs} dnds \equiv 0$$

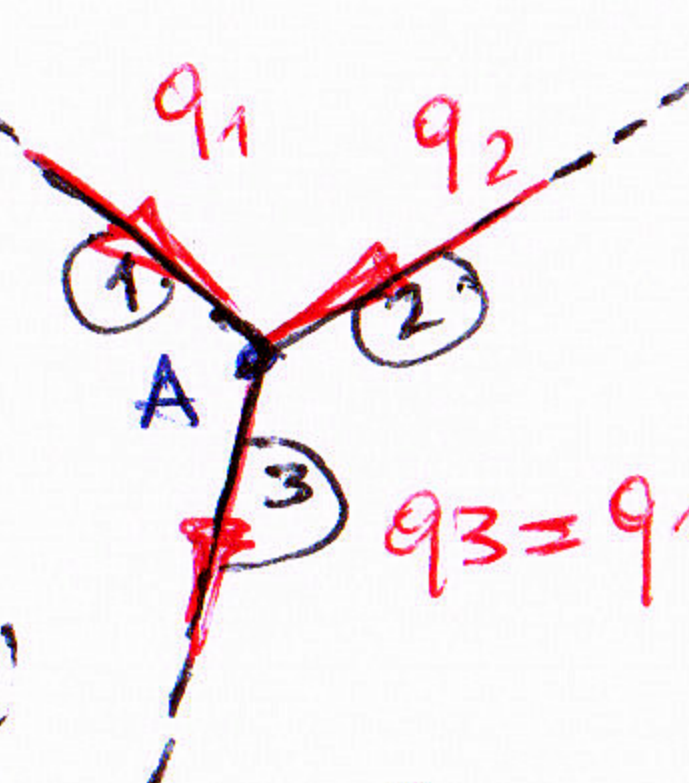
24a (2)

PROFILI APERTI FORMATI DA RETTANGOLI SOTTILI

formula di Jourawsky:

- $T_{zs} = \frac{T_y S_x^{**}(s)}{J_x b(s)} \rightarrow T_{zs}(s_i) = \frac{T_y S_x^{**}(s_i)}{J_x b_i}$
- $T_{zs}^{\max} = \frac{T_y}{J_x} \left(\frac{S_x^{**}(s_i)}{b_i} \right)^{\max}$ lungo il tratto i-esimo

- Nei tratti ove $s_i \parallel x$, $S_x^{**}(s_i)$ è costante in s_i in quanto la distanza del baricentro dell'area componente è costante rispetto a s_i . (tale distanza è $r_{G,i}$).
- Nei punti ove le linee medie tocca l'asse x c'è punto di stationarità di $S_x^{**}(s_i)$, il che segnala un potenziale valore massimo di T_{zs} (è valore di max - relativo).
- Nei nodi ove convergono più tratti vi è bilancio di flussi: (flussi di tensioni tangenziali a taglio $q(s_i) = T_{zs}(s_i) b_i$)



$$(poiché S_{x_3}^{**} = S_{x_1}^{**} + S_{x_2}^{**} \text{ in } A)$$

Si ha:

- $b_i = \text{cost}$ su ogni tratto descritto da s_i .
- $S_x^{**}(s_i)$ al più parabolico in s_i (infatti, sul tratto s_i l'area cresce linealmente così si e la distanza del suo baricentro da x è oltrettutto lin. in s_i)

si tratta di integrale $S_x^{**}(s_i)$ in s_i - l'integrale può essere calcolato:

- in forme analitica
- mediante le formule di SIMPSON (integre esattamente una parabola)

$S_{x_i}^{**}(s_i) ds_i$, con $S_{x_i}^{**}(s_i)$ parabolico in s_i

Formulazione SIMPSON:

$$\int_{s_i} S_{x_i}^{**}(s_i) ds_i = \frac{s_i}{6} (S_{x_{A_i}}^{**} + 4S_{x_{B_i}}^{**} + S_{x_{C_i}}^{**})$$

Bis p.t.o medio del tratto i

estremi del tratto i analogamente, procedendo con T_x - (ad es. $T_x=1$ si determina y_c)

- Per determinare il Cta mediante equivalenti statici è utile det. le risultanti R_i delle $T_{zs,i}$ nei vari tratti:

$$R_i = \int_{s_i} T_{zs,i}(s_i) b_i ds_i = \frac{T_y}{J_x} \int_{s_i} S_{x_i}^{**}(s_i) ds_i$$

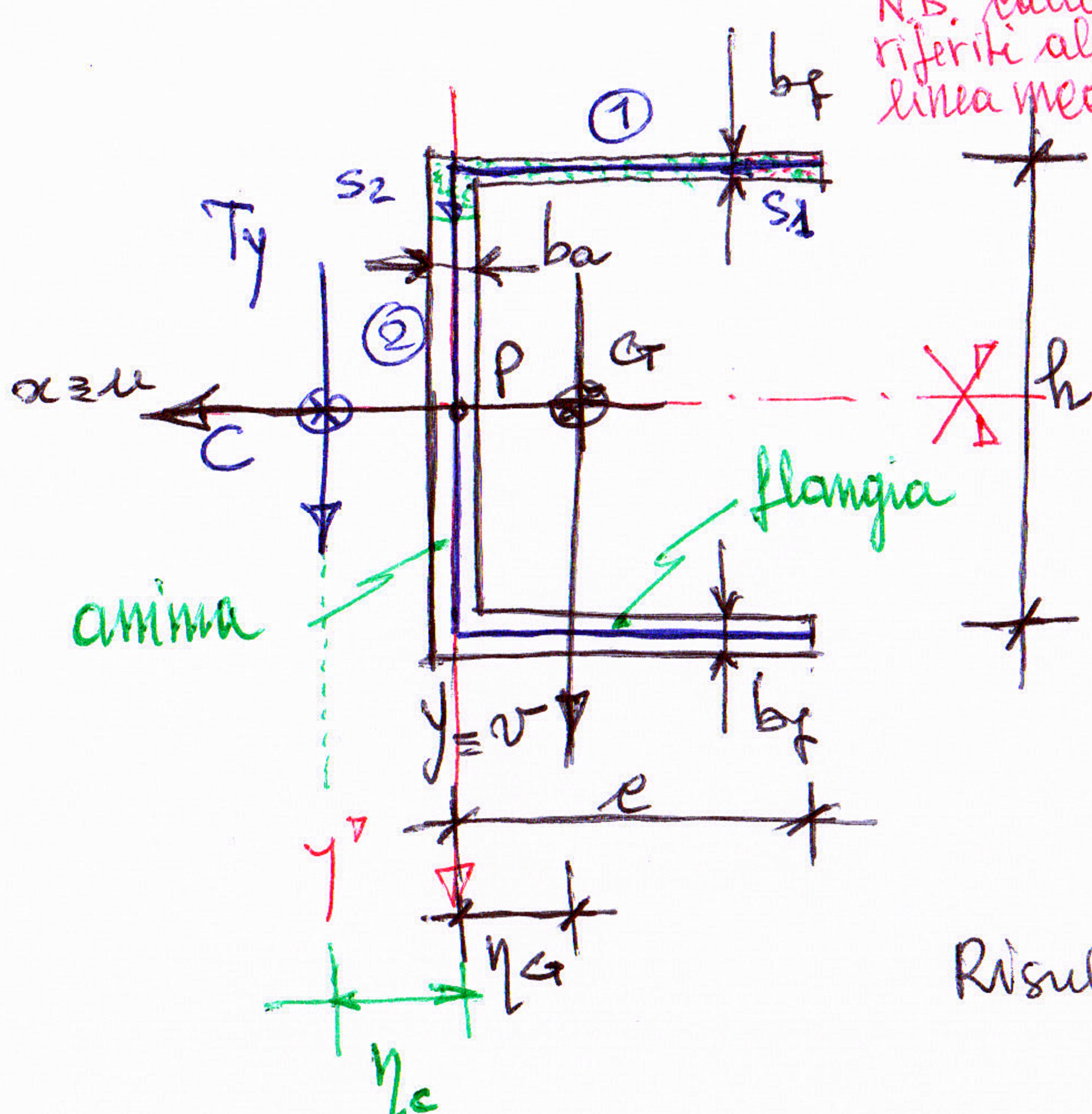
- Trovate le risultanti R_i si volute l'equivalente statico rispetto a G (o altro punto comodo):

$$T_y \cdot x_c = \sum_i R_i r_{G,i} \rightarrow x_c = \sum_i \frac{R_i}{T_y} r_{G,i} - Ciò det. la coord. x_c del Cta -$$

- Profili a stelle: evidentemente le risultanti R_i convergono tutte nel centro delle stelle, quindi tale punto è il p.t.o di applicazione del risultante (T_y) delle R_i e tale punto è quindi il Cta (come si era concluso per il Cto).

Egidio.rizzi@unibg.it

Profilo a C e suo centro di taglio. (esempio significativo di andamento delle T_{2S} dovute a T_y e di posizione del CTa)



N.B. calcoli riferiti alla linea media²

$$A = 2 \times b_f + h \times b_a = b_a h + 2 b_f e$$

$$\eta_G = \frac{S_y}{A} = \frac{2 b_f \cdot c^2 / 2}{A} = \frac{b_f e}{b_a h + 2 b_f e} = \boxed{\frac{e}{2 + \frac{b_a h}{b_f} \frac{e}{c}}} = \eta_G$$

Posizione del baricentro rispetto alle costole verticali (a dx. di essa)

$$\begin{aligned} J_x &= \frac{1}{12} b_a h^3 + 2 \cdot \left(\frac{1}{12} c b_f^3 + b_f \cdot e \cdot \left(\frac{h}{2}\right)^2 \right) = \frac{1}{12} b_a h^3 + b_f c \frac{h^2}{2} = \frac{h^2}{12} (b_a h + 6 b_f c) \\ &= \frac{b_f c h^2}{12} \left(6 + \frac{b_a h}{b_f} \frac{e}{c} \right) \end{aligned}$$

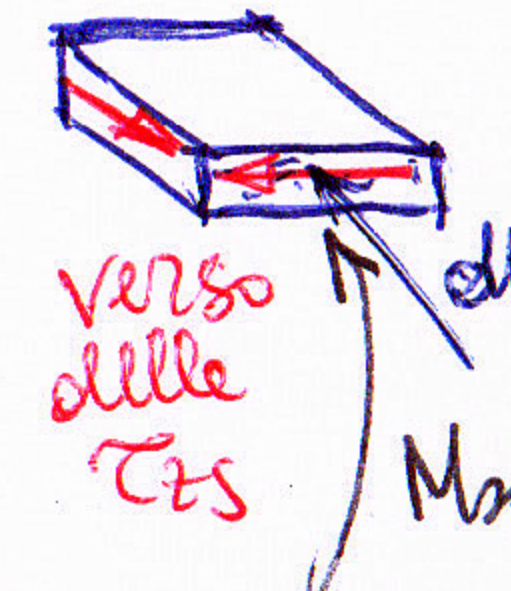
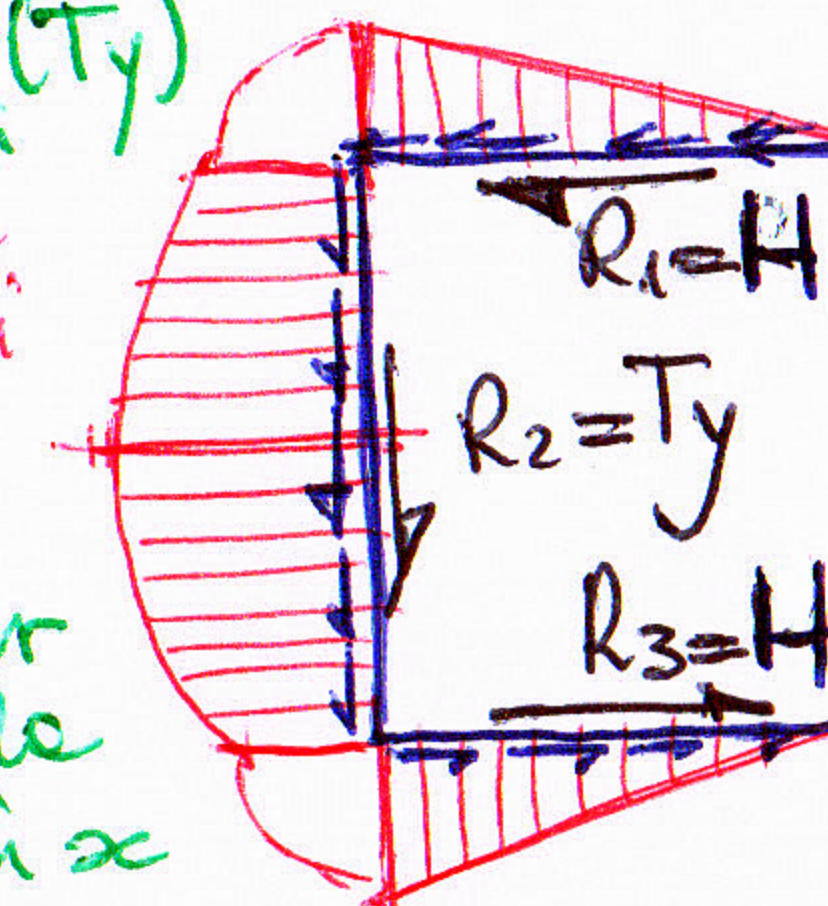
- Tensioni tangenziali sul tratto ①:

$$T_{2S}(s_1) = - \frac{T_y}{J_x} \frac{S_x(s_1)}{b_f} \text{ con } S_x(s_1) = -b_f s_1 \frac{h}{2}$$

Risultante su ① = $\frac{T_y}{J_x} \frac{s_1 h}{2}$ lineari in s_1

$$H = \int_0^e T_{2S1} b_f ds_1 = \frac{T_y}{J_x} \frac{h}{2} b_f \frac{s_1^2}{2} \Big|_0^e = \frac{T_y}{J_x} \frac{b_f h e^2}{4}$$

Andamento delle $T_{2S}(Ty)$



- Infatti: area del triangolo:

$$\frac{T_y}{J_x} b_f c \frac{h}{2} \cdot e \cdot \frac{1}{2}$$

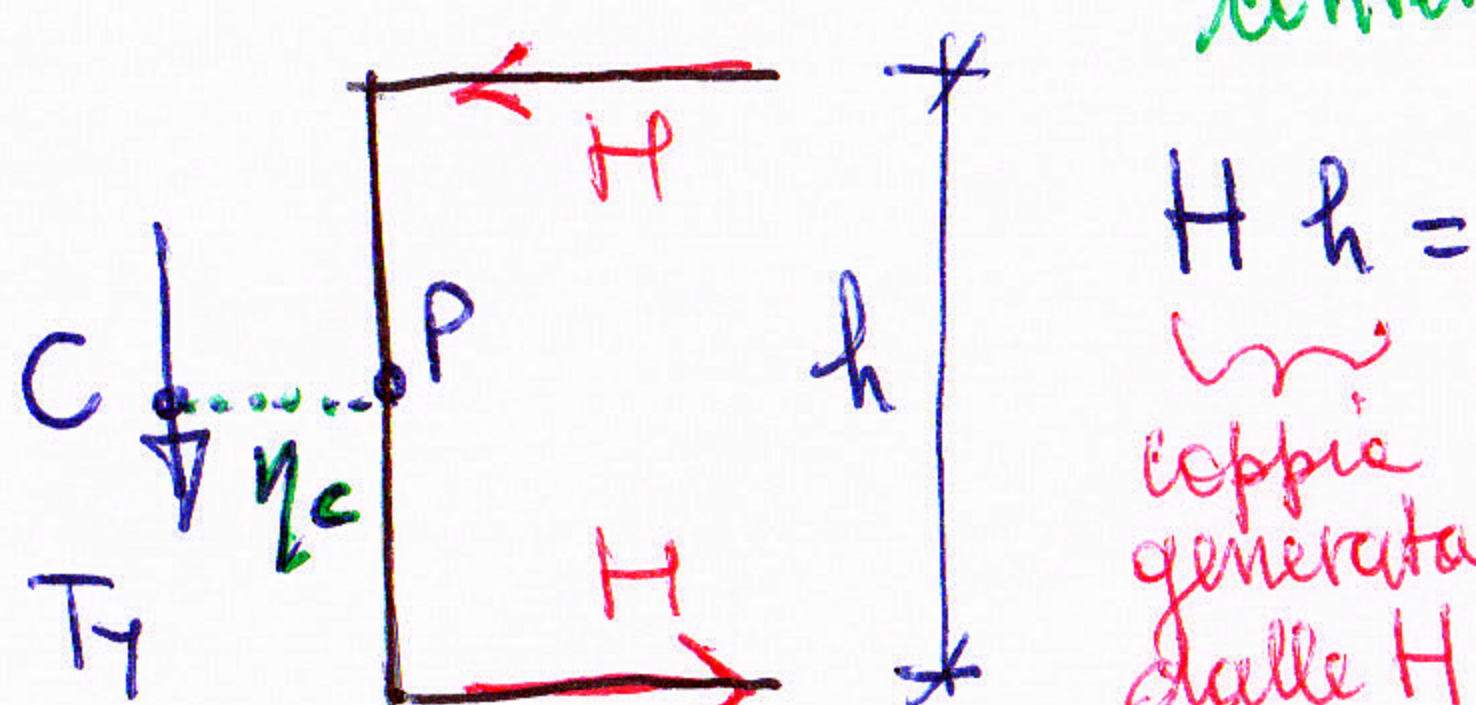
- Tratto ②:

$$T_{2S}(s_2) = + \frac{T_y}{J_x} \frac{1}{b_a} \left(b_f e \frac{h}{2} + b_a s_2 \left(\frac{h}{2} - \frac{s_2}{2} \right) \right) \text{ parabolico in } s_2 -$$

$$\text{Valore max in } s_2 = \frac{h}{2}: T_{2S} = \frac{T_y}{J_x} \frac{1}{b_a} \left(b_f e \frac{h}{2} + b_a \frac{h}{2} \frac{1}{2} \frac{h}{2} \right) = \frac{T_y}{J_x} \frac{1}{b_a} \frac{3}{8} \frac{b_a h^2}{2} \left(1 + \frac{b_f e}{b_a} \frac{h}{2} \frac{8}{9} \right) = \frac{T_y}{J_x} \frac{h^2}{8} \left(1 + 4 \frac{b_f e}{b_a} \frac{h}{2} \right)$$

N.B.: Dovrà risultare $R_2 = T_y$ (per equivalenza statica alla traslazione in direzione y)

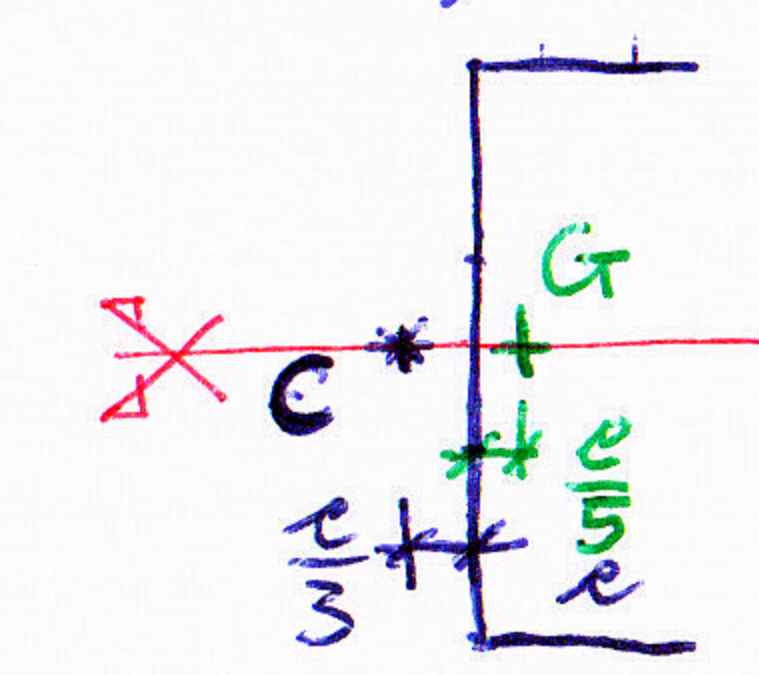
- Equivalenza statica rispetto a P: \rightarrow C deve stare a su. delle costole verticali
necessariamente!



$$\eta_c = \frac{3c}{4 + e/\eta_G} = \eta_G \frac{3e/\eta_G}{4 + e/\eta_G}$$

$$\eta_c = \frac{3 - 1}{6 + \frac{b_a h}{b_f} \frac{e}{c}} c = \frac{1}{\frac{12}{b_f h^2} \frac{1}{6 + \frac{b_a h}{b_f} \frac{e}{c}} \frac{b_f c^2 h^2}{4}} = \frac{b_f c^2 h^2}{12 b_f h^2}$$

$$\text{es. } b_a = b_f, h = 3c \rightarrow \eta_c = \frac{c}{3} \quad (\eta_G = \frac{c}{5})$$



grizzi@unibg.it
necessariamente

$$= \frac{c}{2 + \frac{1}{3} \frac{b_a h}{b_f} \frac{e}{c}} > \eta_G$$